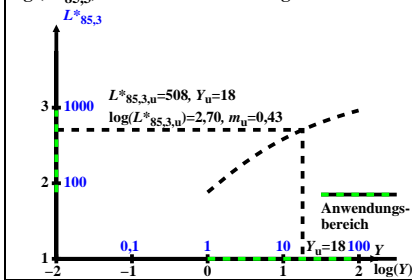
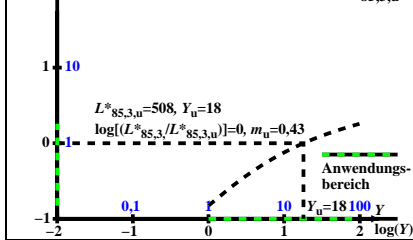


$\log(L^*_{85,3})$ LABJND Musterhelligkeit



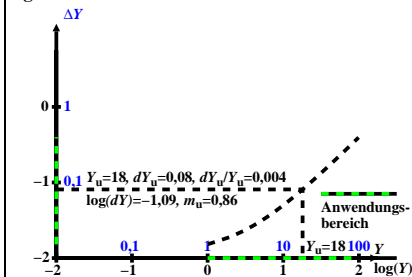
ZG711-1A_1

$\log(L^*_{85,3}/L^*_{85,3,u})$ LABJND Musterhelligkeit $L^*_{85,3}$ normiert für die Umgebungshelligkeit $L^*_{85,3,u}$



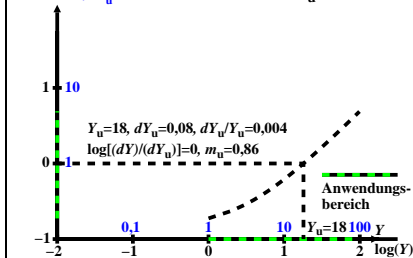
ZG711-2A_1

$\log \Delta Y$ CIE-Normfarbwertdifferenz ΔY



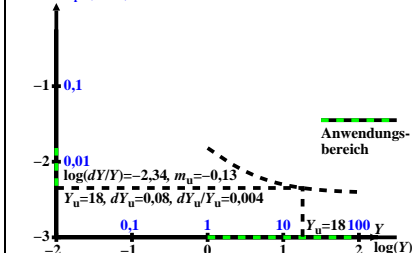
ZG711-3A_1

$\log(\Delta Y/\Delta Y_u)$ CIE-Normfarbwertdifferenz ΔY normiert für ΔY_u



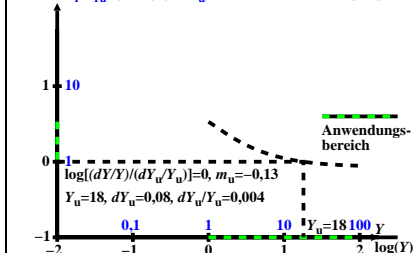
ZG711-4A_1

$\log(\Delta Y/Y)$ CIE Y-basierter Kontrast $C_r=(\Delta Y/Y)$



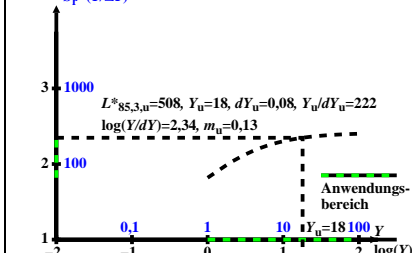
ZG711-5A_1

$\log[(\Delta Y/Y) / (\Delta Y_u/Y_u)]$ CIE Y-Kontrast $C_r/C_u=(\Delta Y/Y)/(\Delta Y_u/Y_u)$ normiert für $\Delta Y_u/Y_u$



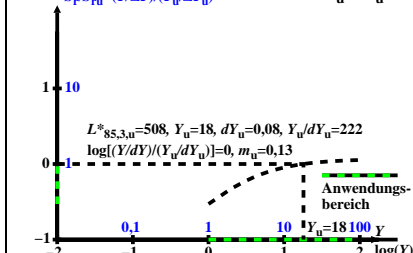
ZG711-6A_1

$\log(Y/\Delta Y)$ CIE Y-basierte Empfindlichkeit $S_r=(Y/\Delta Y)$



ZG711-7A_1

$\log[(Y/\Delta Y) / (Y_u/\Delta Y_u)]$ CIE Y-Empfindlichkeit $S_r/S_{ru}=(Y/\Delta Y)/(Y_u/\Delta Y_u)$ normiert für $Y_u/\Delta Y_u$



ZG711-8A_1